



ارتعاشات غیرخطی لوله‌های حامل سیال تقویت شده با گرافن

رسول خدابخش*، علیرضا سعیدی، رضا بهال الدینی

دانشکده فنی و مهندسی، دانشگاه شهید بهمن کرمان، کرمان، ایران

تاریخچه داوری:
دریافت: ۱۳۹۹/۰۶/۱۷
بازنگری: ۱۴۰۰/۰۳/۱۱
پذیرش: ۱۴۰۰/۰۳/۲۹
ارائه آنلاین: ۱۴۰۰/۰۴/۱۶

کلمات کلیدی:
لوله‌های حامل سیال
ارتعاشات غیرخطی
روش آنالیز هموتوپی
مواد مدرج تابعی
صفحات گرافن.

خلاصه: در این مطالعه ارتعاشات غیرخطی لوله‌های حامل سیال از جنس مواد مرکب چند لایه تقویت شده با صفحات گرافن با تکیه‌گاه ساده در دو انتهای و بر اساس مدل تیر اویلر-برنولی به صورت تحلیلی مورد تحقیق قرار گرفته است. لایه‌های تشکیل‌دهنده دیواره لوله به صورت ترکیبی از مواد پلیمری و صفحات گرافن در نظر گرفته شده و میزان تقویت‌کنندگی صفحات گرافن به صورت لایه‌ای در جهت ضخامت دیواره لوله تغییر می‌کند. چهار الگوی مختلف توزیع صفحات تقویت‌کننده گرافن در راستای ضخامت لوله، تغییر شکل‌های بزرگ و میدان کرنش غیرخطی ون-کارمن در نظر گرفته شده است. معادلات غیرخطی حاکم به کمک اصل هامیلتون استخراج، با روش گالرکین به معادله دیفرانسیل معمولی تبدیل شده و با روش تحلیلی آنالیز هموتوپی حل می‌گردد. تغییرات اولین فرکانس طبیعی غیرخطی سیستم بر حسب تغییرات دامنه اولیه، سرعت سیال عبوری، چگالی سیال عبوری و طول لوله و همچنین پاسخ زمانی ارتعاشات غیرخطی سیستم برای الگوهای مختلف توزیع صفحات گرافن شامل O, X, V, U ارائه و مورد تحلیل قرار می‌گیرد. نتایج نشان می‌دهد اولین فرکانس طبیعی غیرخطی سیستم برای تمامی الگوهای توزیع صفحات گرافن با افزایش سرعت سیال، چگالی سیال و همچنین طول لوله، کاهش یافته اما با افزایش دامنه اولیه سیستم افزایش می‌یابد و همچنین الگوی توزیع V طی تغییر پارامترهای مورد بررسی بیشترین فرکانس غیرخطی را نسبت به سه الگوی توزیع دیگر دارا می‌باشد.

۱- مقدمه

سوراخ شدن لوله‌ها، شکست خستگی، سر و صدای زیاد، آتش‌سوزی و انفجار می‌شود [۱]. در سالیان اخیر مطالعات متعددی بر روی ارتعاشات خطی [۲-۸] و غیرخطی لوله‌های حامل سیال انجام شده است. پایدوسیس و سملر [۹] ارتعاشات غیرخطی لوله حامل سیال با تکیه‌گاه فنر میانی را مورد مطالعه قرار دادند. مانپراپوسور و همکاران [۱۰] تغییر شکل‌های بزرگ شعاعی-محوری لوله‌های انعطاف‌پذیر حامل جریان را تحلیل کردند. دینامیک غیرخطی لوله‌های منحنی حامل سیال تحت قیود محدود کننده حرکت و تحریک هارمونیک توسط لین و کیانو [۱۱] مورد بررسی قرار گرفت. مدرس-صادقی و پایدوسیس [۱۲] دینامیک غیرخطی و رفتار پس از دیورژانس لوله‌های حامل جریان با تکیه‌گاه ثابت در دو انتهای را مورد تحقیق قرار دادند. پاسخ ارتعاشات اجباری لوله حامل سیال با تکیه‌گاه ساده

اندرکنش سیال-سازه^۱ بیانگر اثر متقابل نیروهای سازه‌ای و نیروهای ناشی از جریان سیال می‌باشد. یکی از ساختارهای مهم مورد بررسی در حوزه اندرکنش سیال-سازه، لوله‌های حامل سیال می‌باشند که کاربردهای وسیعی در علوم مختلف مهندسی دارند؛ از جمله این کاربردها می‌توان به خطوط انتقال نفت و گاز، مبدل‌های حرارتی، لوله‌های سوخت‌گیری هوایی، راکتورهای هسته‌ای، لوله‌های انتقال سیال در بویلرها و ... اشاره کرد. مطالعه ارتعاشات لوله‌های حامل سیال از اهمیت ویژه‌ای برخوردار است چرا که تجربه نشان داده است ارتعاشات بیش از حد این لوله‌ها موجب خرابی ماشین آلات،

¹ Fluid structure interaction

*نویسنده عهده‌دار مکاتبات: rasoul.khodabakhsh20@yahoo.com



فوق العاده تقویت کننده های گرافن و ضمن حفظ مزیت های ماده پلیمر مثل تغییر شکل زیاد، قابلیت کشش و سازگاری زیستی و شیمیایی خوب، خواص فیزیکی و مکانیکی بسیار بهتری نسبت به مواد پلیمری داشته باشند [۲۳ و ۲۴]. یک نمونه از این مواد مرکب جدید، مواد مرکب تقویت شده با صفحات گرافن^۱ بوده که در سالیان اخیر توجه محققان زیادی را به خود جلب کرده است، به طوری که تحلیل ارتعاشات تیرها [۲۵-۲۷]، تیغه ها [۲۸]، ورق ها [۲۹-۳۱] و پوسته های [۳۲ و ۳۳] ساخته شده از مواد مرکب تقویت شده با صفحات گرافن از جمله موضوعات مورد علاقه محققان در تحقیقات اخیر بوده است.

ساخت مواد پلیمری تقویت شده با گرافن قابل دستیابی بوده (جزئیات آن در مرجع [۳۴] تشریح گردیده است) و یکی از کاربردهای مهم این مواد در لوله های پلیمری تقویت شده (با نانو لوله های کربن و یا نانو صفحات گرافن) می باشد که در سیستم های آبیاری، خطوط انتقال آب، نفت، گاز و یا هر کاربرد مهندسی پیشرفته ای که به لوله های با وزن کم، مقاومت مکانیکی بالا و مقاوم در برابر زنگ خوردگی نیاز باشد، مورد استفاده قرار می گیرند [۳۵].

با توجه به مطالعات مرور شده، تا کنون ارتعاشات غیرخطی لوله های حامل سیال از جنس مواد مرکب چندلایه تقویت شده با صفحات گرافن مورد مطالعه قرار نگرفته است و تأثیر این مواد مرکب جدید بر فرکانس های غیرخطی و پاسخ زمانی ارتعاشات غیرخطی لوله های حامل سیال مشخص نشده است. در این تحقیق ارتعاشات غیرخطی لوله حامل سیال ساخته شده از جنس مواد مرکب چندلایه تقویت شده با صفحات گرافن با تکیه گاه ساده در دو انتهای براحتی مدل تیر اویلر-برنولی و به صورت تحلیلی مورد مطالعه قرار می گیرد.

۲- مدل لوله حامل سیال از جنس مواد مدرج تابعی تقویت شده با صفحات گرافن

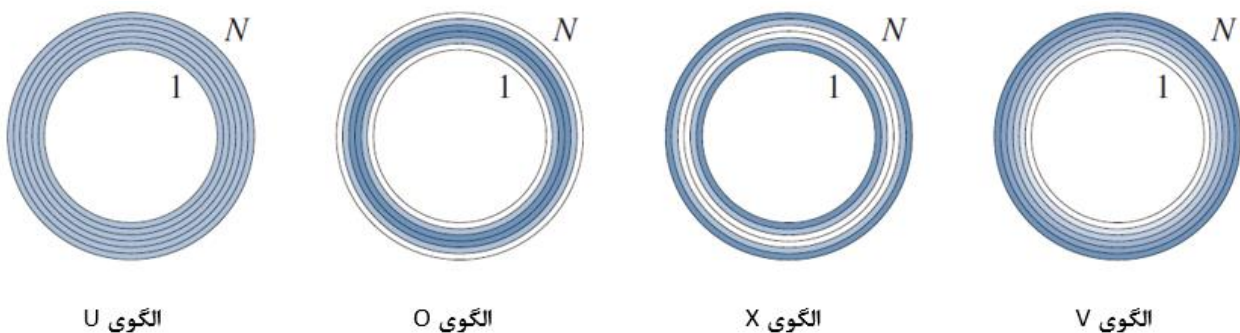
لوله حامل سیال مورد بررسی در این مطالعه از چندین لایه پلیمری تقویت شده با صفحات گرافن (به صورت لایه ای متغیر) که دارای ضخامت یکسانی هستند تشکیل شده است. فرض می شود که لایه ها محکم به یکدیگر متصل بوده و صفحات گرافن بطور یکنواخت و با جهت تصادفی در هر لایه پخش شده اند اما کسر وزنی از هر لایه

در دو انتهای تحت تشدید داخلی ۳ به ۱ برای اولین بار توسط مائو و همکاران [۱۳] مورد تحلیل قرار گرفت. پنگ و همکاران [۱۴] با در نظر گرفتن لوله حامل سیال با شرایط مرزی تکیه گاه ساده در دو انتهای، دینامیک غیرخطی این لوله ها را تحت قیود محدود کننده حرکت به صورت دو بعدی مطالعه کردند. تان و همکاران [۱۵] فرکانس های غیرخطی و پاسخ ارتعاشات اجباری لوله های حامل سیال را بر اساس مدل تیر تیموشنکو به دست آورده اند. عبدالبکی و همکاران [۱۶] مدلی غیرخطی از یک لوله تحت سیال داخلی و خارجی را مورد مطالعه قرار داده و دریافتند که این مدل، فرکانس های ارتعاشات را دقیق تر از تئوری خطی ارائه می دهد. دینامیک غیرخطی لوله های حامل سیال با شرایط مرزی یک انتهای آزاد و یک انتهای تکیه گاه متحرک، توسط خیری [۱۷] مورد تحقیق و پژوهش قرار گرفتند. دینامیک غیرخطی لوله های ویسکوالاستیک حامل سیال واقع در جریان عرضی خارجی یکنواخت را شاهعلى و همکاران [۱۸] مورد تحلیل قرار دادند.

در مطالعات مرور شده فوق لوله حامل سیال از یک ماده یکنواخت تشکیل شده است. مواد مدرج تابعی دارای ویژگی تغییر پیوسته و آرام در ترکیب و خصوصیات مادی در یک یا چند جهت می باشند. این مواد با توجه به خصوصیاتی که دارند برای کاربرد در نواحی مختلف و شرایط کاری متفاوت مناسب می باشند، از این رو تعداد زیادی از محققان از خصوصیات این مواد در مطالعه ارتعاشات غیرخطی لوله های حامل سیال بهره برده و لوله را از جنس مواد مدرج تابعی در نظر گرفتند. تانگ و یانگ [۱۹] ارتعاشات غیرخطی و رفتار پس از کمانش لوله حامل جریان ساخته شده از مواد مدرج تابعی را مورد مطالعه قرار دادند. رفتار غیرخطی تشدید-گرمایی لوله های مدرج تابعی حامل سیال توسط دهرویه-سمنانی و همکاران [۲۰] مورد بررسی قرار گرفت. ردی و همکاران [۲۱] دینامیک غیرخطی یک لوله مدرج تابعی شیبدار حامل سیال ضربانی داغ را تحلیل و بررسی کردند. حل تحلیلی ارتعاشات غیرخطی و رفتار پس از کمانش لوله های مدرج تابعی حامل جریان با در نظر گرفتن تاثیرات اینرسی چرخشی و تغییر شکل بر بشی توسط خدابخش و همکاران [۲۲] مورد مطالعه قرار گرفت.

گرافن و مشتقات آن بطور گستردگی به عنوان تقویت کننده برای بالا بردن عملکرد مواد مرکب پلیمری مورد استفاده قرار می گیرند. این امر موجب شده است این مواد مرکب جدید با استفاده از خصوصیات

1 Graphene platelets reinforced composite (GPLRC)



شکل ۱. چهار الگوی مختلف توزیع صفحات گرافن در راستای ضخامت لوله.

Fig. 1. Four different distribution patterns of the graphene platelets along the thickness of the pipe.

تشکیل دهنده لوله را نشان می‌دهد. کسر حجمی کل صفحات گرافن، V_{GPL}^* با رابطه زیر به دست می‌آید [۲۵]:

$$V_{GPL}^* = \frac{W_{GPL}}{W_{GPL} + \left(\frac{\rho_{GPL}}{\rho_m} \right) (1 - W_{GPL})} \quad (5)$$

در رابطه فوق، W_{GPL} و ρ_{GPL} به ترتیب کسر وزنی صفحات گرافن، چگالی صفحات گرافن و چگالی ماده زمینه می‌باشند. مدول الاستیسیته مواد کامپوزیتی با تقویت کننده‌هایی که با جهات تصادفی توزیع شده‌اند بر اساس رابطه زیر تقریب زده می‌شود [۳۶ و ۳۷]:

$$E(k) = \frac{3}{8} E_L + \frac{5}{8} E_T \quad (6)$$

که در این رابطه E_L و E_T مدول طولی و عرضی برای یک لایه یک جهتی بوده که با مدل هالپین-تسای [۳۸] طبق روابط زیر قابل محاسبه می‌باشند:

$$E_L = \frac{1 + \xi_L \eta_L V_{GPL}}{1 - \eta_L V_{GPL}} E_m \quad (7)$$

$$E_T = \frac{1 + \xi_T \eta_T V_{GPL}}{1 - \eta_T V_{GPL}} E_m \quad (8)$$

در روابط فوق η_L و η_T با روابط زیر بیان می‌گردد [۳۸]:

به لایه دیگر تغییر می‌کند. بنابراین، هر لایه کامپوزیتی تقویت شده با صفحات گرافن همگن و همسانگرد می‌باشد.

شکل ۱ چهار الگوی توزیع صفحات گرافن در راستای ضخامت لوله حامل سیال را نشان می‌دهد. تعداد کل لایه‌ها برابر با N در نظر گرفته شده و رنگ تیره‌تر در هر لایه نشان دهنده‌ی تعداد بیشتر صفحات گرافن در آن لایه می‌باشد. در الگوی U تعداد صفحات گرافن در هر لایه یکسان است و در الگوی O لایه‌های میانی تعداد صفحات تقویت کننده گرافن بیشتر و لایه‌های نزدیک به سطوح داخلی و خارجی صفحات گرافن کمتری دارند در حالی که این موضوع در الگوی X بر عکس الگوی O است. کسر حجمی صفحات گرافن با V_{GPL} نشان داده شده و کسر حجمی لایه k^{th} برای چهار الگوی نشان داده شده در شکل ۱ بر اساس روابط زیر بیان می‌گردد [۲۵]:

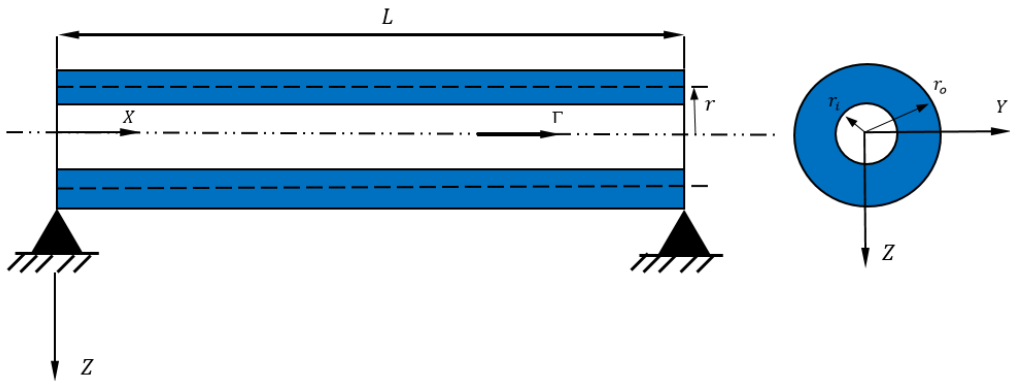
$$\text{الگوی } U: V_{GPL}(k) = V_{GPL}^* \quad (1)$$

$$\text{الگوی } O: V_{GPL}(k) = 2V_{GPL}^* \left(1 - \frac{|2k - N - 1|}{N} \right) \quad (2)$$

$$\text{الگوی } X: V_{GPL}(k) = 2V_{GPL}^* \left(\frac{|2k - N - 1|}{N} \right) \quad (3)$$

$$\text{الگوی } V: V_{GPL}(k) = V_{GPL}^* \frac{(2k - 1)}{N} \quad (4)$$

در روابط فوق N تعداد کل لایه‌ای $k = 1, 2, 3, \dots, N$ و



شکل ۲. مدل فیزیکی لوله حامل سیال پلیمری تقویت شده با صفحات گرافن با تکیه‌گاه ساده در دو انتهای.

Fig. 2. Physical model of simply-supported polymer pipe conveying fluid reinforced by graphene platelets.

لوله در راستایشعاعی نیز با رابطه زیر به دست می‌آید [۳۷]:

$$\rho(k) = V_{GPL}(k)\rho_{GPL} + V_m(k)\rho_m \quad (13)$$

که در این رابطه $V_m(k)$ نشان‌دهنده کسر حجمی زمینه در لایه ام بوده و با رابطه زیر تعیین می‌گردد [۳۷]:

$$V_m(k) = 1 - V_{GPL}(k) \quad (14)$$

۳- معادلات حاکم

یک لوله یکنواخت پلیمری تقویت شده با صفحات گرافن حامل سیال با طول L و با تکیه‌گاه ساده در دو انتهای مطابق با شکل ۲ در نظر بگیرید.

با توجه به شکل ۲، Γ سرعت سیال داخل لوله، r_i شعاع داخلی و r_o شعاع خارجی لوله می‌باشند. با در نظر گرفتن مدل تیر اویلر-برنولی و تغییر شکل‌های بزرگ برای لوله و اعمال میدان کرنش غیرخطی ون-کارمن، مولفه‌ی طولی کرنش (تنها مؤلفه غیر صفر) به صورت زیر به دست می‌آید [۱۹]:

$$\varepsilon_{xx} = \frac{\partial u}{\partial x} - z \frac{\partial^2 w}{\partial x^2} + \frac{1}{2} \left(\frac{\partial w}{\partial x} \right)^2 \quad (15)$$

با فرض رفتار الاستیک برای لوله، رابطه تنش-کرنش به صورت زیر ارائه می‌گردد [۲۲]:

$$\eta_L = \frac{\left(\frac{E_{GPL}}{E_m} \right) - 1}{\left(\frac{E_{GPL}}{E_m} \right) + \xi_L} \quad (19)$$

$$\eta_T = \frac{\left(\frac{E_{GPL}}{E_m} \right) - 1}{\left(\frac{E_{GPL}}{E_m} \right) + \xi_T} \quad (20)$$

در روابط بالا E_m و E_{GPL} به ترتیب نشان‌دهنده مدول یانگ صفحات گرافن و زمینه می‌باشند. پارامترهای هندسی صفحات گرافن که در روابط فوق با ξ_L و ξ_T نشان داده شده‌اند، طبق روابط زیر ارائه می‌شوند [۳۸]:

$$\xi_L = 2 \left(\frac{a_{GPL}}{t_{GPL}} \right) \quad (11)$$

$$\xi_T = 2 \left(\frac{b_{GPL}}{t_{GPL}} \right) \quad (12)$$

که در این روابط t_{GPL} ، b_{GPL} و a_{GPL} به ترتیب، طول، عرض و ضخامت صفحات گرافن می‌باشند. بر اساس قانون مخلوط‌ها، چگالی

کششی و خمشی می‌باشند، به صورت زیر محاسبه می‌شوند [۲۲]:

$$\sigma = E(k) \varepsilon_{xx} \quad (16)$$

$$(EA)^* = \int_0^{r_o} \int_{r_i}^{2\pi r_o} E(k) r dr d\theta \quad (22)$$

به منظور استخراج معادلات حاکم از اصل همیلتون مطابق با رابطه زیر استفاده می‌شود [۲۲]:

$$(EI)^* = \int_0^{r_o} \int_{r_i}^{2\pi r_o} E(k) r^3 \sin^2 \theta dr d\theta \quad (23)$$

$$\int_{t_1}^{t_2} (\delta T - \delta U) dt = 0 \quad (17)$$

با استفاده از معادلات (۱۷) تا (۱۹) و انتگرال‌گیری جز به جز معادلات حاکم به صورت زیر به دست می‌آیند:

در رابطه‌ی فوق T و U به ترتیب نشان‌دهنده انرژی جنبشی کل و انرژی کرنشی کل لوله حامل سیال می‌باشند که بر اساس روابط زیر بیان می‌گردند [۱۹]:

$$m_f \left(\frac{\partial^2 u}{\partial t^2} + 2\Gamma \frac{\partial^2 u}{\partial x \partial t} + \Gamma^2 \frac{\partial^2 u}{\partial x^2} \right) + m_p \left(\frac{\partial^2 u}{\partial t^2} \right) - (EA)^* \frac{\partial}{\partial x} \left[\frac{\partial u}{\partial x} + \frac{1}{2} \left(\frac{\partial w}{\partial x} \right)^2 \right] - \frac{\partial P_0}{\partial x} = 0 \quad (24)$$

$$T = \frac{1}{2} m_p \int_0^L \left[\left(\frac{\partial u}{\partial t} \right)^2 + \left(\frac{\partial w}{\partial t} \right)^2 \right] dx + \frac{1}{2} m_f \int_0^L \left[\left(\Gamma + \frac{\partial u}{\partial t} + \Gamma \frac{\partial u}{\partial x} \right)^2 + \left(\frac{\partial w}{\partial t} + \Gamma \frac{\partial w}{\partial x} \right)^2 \right] dx \quad (18)$$

$$m_f \left(\frac{\partial^2 w}{\partial t^2} + 2\Gamma \frac{\partial^2 w}{\partial x \partial t} + \Gamma^2 \frac{\partial^2 w}{\partial x^2} \right) + m_p \left(\frac{\partial^2 w}{\partial t^2} \right) + (EI)^* \frac{\partial^4 w}{\partial x^4} - \frac{\partial}{\partial x} \left\{ \frac{\partial w}{\partial x} \left[(EA)^* \left[\frac{\partial u}{\partial x} + \frac{1}{2} \left(\frac{\partial w}{\partial x} \right)^2 \right] + P_0 \right] \right\} = 0 \quad (25)$$

$$U = \frac{1}{2} P_0 \int_0^L \left[2 \left(\frac{\partial u}{\partial x} \right)^2 + \left(\frac{\partial w}{\partial x} \right)^2 \right] dx + \frac{1}{2} \int_0^L (EI)^* \left(\frac{\partial^2 w}{\partial x^2} \right)^2 dx + \frac{1}{2} \int_0^L (EA)^* \left[\frac{\partial u}{\partial x} + \frac{1}{2} \left(\frac{\partial w}{\partial x} \right)^2 \right]^2 dx \quad (19)$$

و شرایط مرزی مربوطه نیز عبارتند از:

در معادله (۱۸)، m_f و m_p به ترتیب جرم در واحد طول لوله و سیال می‌باشند که با روابط زیر بیان می‌گردند [۱۹]:

$$\left[\int_{t_1}^{t_2} (EI)^* \frac{\partial^2 w}{\partial x^2} \delta \left(\frac{\partial w}{\partial x} \right) dt \right]_0^L = 0 \quad (26)$$

$$m_p = \int_A \rho(k) dA \quad (20)$$

$$\left[\begin{aligned} & \left[\int_{t_1}^{t_2} m_f \left(\Gamma^2 + \Gamma \frac{\partial u}{\partial t} + \Gamma^2 \frac{\partial u}{\partial x} \right) - (EA)^* dt \right] \delta u \Big|_0^L = 0 \\ & \left[\left[\frac{\partial u}{\partial x} + \frac{1}{2} \left(\frac{\partial w}{\partial x} \right)^2 \right] - P_0 \right] \end{aligned} \right] \quad (27)$$

$$m_f = \rho_f A_f \quad (21)$$

در رابطه بالا ρ_f چگالی سیال و A_f نیز سطح مقطع سیال عبوری از داخل لوله است. در معادله (۱۹)، P_0 کشنش محوری اولیه بوده و متغیرهای $(EI)^*$ و $(EA)^*$ که به ترتیب بیانگر سفتی

اول لوله پلیمری می‌باشد. با در نظر گرفتن (که شرایط مرزی مسئله را ارضا می‌کند) و جایگزین کردن معادله (۳۰) در معادله (۲۹) و دنبال کردن روش گالرکین، معادله دیفرانسیل

معمولی حاکم بر لوله به صورت زیر به دست می‌آید:

$$\frac{d^2\xi(t)}{dt^2} + \left[\frac{(EI)^*(\frac{\pi}{L})^4 + (P_0 - m_f I^2)(\frac{\pi}{L})^2}{m_f + m_p} \right] \xi(t) + \left[\frac{(EA)^*(\frac{\pi}{L})^4}{4(m_f + m_p)} \right] \xi^3(t) = 0 \quad (31)$$

شرایط اولیه به صورت زیر در نظر گرفته می‌شوند:

$$\begin{aligned} \xi(0) &= a \\ \frac{d}{dt}\xi(0) &= 0 \end{aligned} \quad (32)$$

در رابطه بالا پارامتر a نشان‌دهنده دامنه اولیه لوله مورد نظر می‌باشد.

۴-۱- روش آنالیز هوموتوپی

روش آنالیز هوموتوپی یک روش تحلیلی برای حل معادلات غیرخطی اعم از معادلات با شدت غیرخطی ضعیف و قوی می‌باشد که اولین بار توسط لیائو [۳۹] در سال ۱۹۹۲ ارائه گردید. در این روش، معادله دیفرانسیل غیرخطی به کمک یک پارامتر کمکی q (با محدوده تغییرات صفر تا یک) به تعداد بینهایت معادله دیفرانسیل خطی تبدیل می‌شود. با افزایش q از صفر به یک، حل از حدس اولیه به حل دقیق تغییر می‌کند. در این تحقیق از روش آنالیز هوموتوپی برای حل معادله غیرخطی به دست آمده در قسمت قبل (معادله (۳۱)) استفاده می‌شود. به منظور اعمال این روش در ابتدا تغییر متغیرهای زیر را اعمال می‌کنیم [۴۰]:

$$\left[\int_0^t \left\{ m_f \left(\Gamma \frac{\partial w}{\partial t} + I^2 \frac{\partial w}{\partial x} \right) + (EI)^* \frac{\partial^3 w}{\partial x^3} - (EA)^* \left[\frac{\partial u}{\partial x} + \frac{1}{2} \left(\frac{\partial w}{\partial x} \right)^2 \right] \frac{\partial w}{\partial x} - P_0 \frac{\partial w}{\partial x} \right\} dt \right] \delta w \Big|_0^L = 0 \quad (28)$$

با در نظر گرفتن حرکت عرضی و کشش محدود^۱ معادلات حاکم (۲۵) به معادله زیر خلاصه می‌شوند:

$$\begin{aligned} & \left(m_f + m_p \right) \left(\frac{\partial^2 w}{\partial t^2} \right) + 2m_f I \frac{\partial^2 w}{\partial x \partial t} \\ & + m_f I^2 \frac{\partial^2 w}{\partial x^2} + (EI)^* \frac{\partial^4 w}{\partial x^4} \\ & - P_0 \left(\frac{\partial^2 w}{\partial x^2} \right) - \frac{(EA)^*}{2L} \left(\frac{\partial^2 w}{\partial x^2} \right) \int_0^L \left(\frac{\partial w}{\partial x} \right)^2 dx = 0 \end{aligned} \quad (29)$$

معادله فوق معادله غیرخطی حاکم بر ارتعاشات عرضی لوله حامل سیال مورد نظر در این مطالعه می‌باشد.

۴-۲- ارتعاشات غیرخطی لوله پلیمری حامل سیال مدرج تابعی تقویت شده با صفحات گرافن

در این قسمت از تحقیق، در ابتدا معادله حاکم با استفاده از روش گالرکین به یک معادله دیفرانسیل معمولی تبدیل شده و سپس با روش آنالیز هوموتوپی حل می‌گردد.

۴-۳- روش گالرکین

به منظور جداسازی متغیرها در معادله حاکم به دست آمده در قسمت قبل، از روش گالرکین استفاده می‌شود. با در نظر گرفتن روش گالرکین مرتبه اول، جابجایی عرضی لوله به صورت زیر فرض می‌گردد [۱۹]:

$$w(x, t) = \phi(x)\xi(t) \quad (30)$$

در رابطه بالا، (t) دامنه بی‌بعد و (x) ϕ شکل مود مرتبه

¹ Limited stretching

$$\begin{aligned} \text{که در این رابطه} & \quad \tau = \omega t \\ \xi(t) = \eta(\tau) & \end{aligned} \quad (۳۳)$$

$$\eta_m(\tau) = \frac{1}{m!} \frac{\partial^m \phi(\tau, q)}{\partial q^m} \Big|_{q=0} \quad (۳۸)$$

جایگزین کردن معادله (۳۳) در معادلات (۳۱) و (۳۲) نتیجه

می‌دهد:

با توجه به معادله (۳۴) عملگرهای خطی و غیرخطی به صورت

زیر در نظر گرفته می‌شوند:

$$L^*[\phi(\tau, q)] = \omega^2 \left[\frac{d^2 \phi(\tau, q)}{d\tau^2} + \phi(\tau, q) \right] \quad (۳۹)$$

$$\omega^2 \frac{d^2 \eta(\tau)}{d\tau^2} + \left[\frac{(EI)^* \left(\frac{\pi}{L} \right)^4 + (P_0 - m_f \Gamma^2) \left(\frac{\pi}{L} \right)^2}{m_p + m_f} \right] \eta(\tau)^3 = 0 \quad (۳۴)$$

$$N^*[\phi(\tau, q)] = \omega^2 \frac{d^2 \phi(\tau, q)}{d\tau^2} + \left[\frac{(EI)^* \left(\frac{\pi}{L} \right)^4 + (P_0 - m_f \Gamma^2) \left(\frac{\pi}{L} \right)^2}{m_p + m_f} \right] \phi(\tau, q) \quad (۴۰)$$

$$\eta(\tau) + \left[\frac{(EA)^* \left(\frac{\pi}{L} \right)^4}{4(m_p + m_f)} \right] \eta(\tau)^3 = 0$$

$$\begin{aligned} \eta(0) &= a \\ \frac{d}{d\tau} \eta(0) &= 0 \end{aligned} \quad (۴۵)$$

تابع هموتوپی به صورت زیر در نظر گرفته می‌شود [۴۰]:

تابع هموتوپی مرتبه صفر از برابر صفر قرار دادن $H[\phi(\tau, q), q, h, \hbar(\tau)]$ در معادله (۳۶) به صورت زیر حاصل می‌شود:

$$(1-q)L^*[\phi(\tau, q) - \eta_0(\tau)] = qh\hbar(\tau)N^*[\phi(\tau, q)] \quad (۴۱)$$

شرطیت اولیه مربوطه عبارتند از:

$$\phi(0, q) = a$$

$$\frac{d}{d\tau} \phi(0, q) = 0$$

$$H[\phi(\tau, q), q, h, \hbar(\tau)] = (1-q)L^*[\phi(\tau, q)] - qh\hbar(\tau)N^*[\phi(\tau, q)] - \eta_0(\tau) \quad (۳۶)$$

در این رابطه h و $\hbar(\tau)$ به ترتیب پارامتر و تابع کمکی غیرصفر، L^* و N^* به ترتیب عملگرهای خطی و غیرخطی، $\eta_0(\tau)$ تابع مجھول بوده که بسط تیلور آن برای حدس اولیه حل و $\phi(\tau, q)$ به صورت زیر می‌باشد [۴۰]:

$$\phi(\tau, q) = \eta_0(\tau) + \sum_{m=1}^{\infty} \eta_m(\tau) q^m \quad (۴۷)$$

عبارت فوق شامل مؤلفه افزایش یابنده نسبت به زمان^۱ $\tau \sin \tau$ بوده که بایستی حذف گردد، از برابر صفر قرار دادن ضریب مؤلفه افزایش یابنده نسبت به زمان، اولین فرکانس طبیعی غیرخطی و $\eta_1(\tau)$ به صورت زیر به دست می‌آیند:

حدس اولیه که شرایط اولیه معادله (۴۲) را ارضاء می‌کند، به صورت زیر در نظر گرفته می‌شود:

$$\eta_0(\tau) = a \cos(\tau) \quad (43)$$

$$\omega_{nl} = \frac{1}{2} \left\{ 4 \left[\frac{\left(EI \right)^* \left(\frac{\pi}{L} \right)^4 + \left(P_0 - m_f \Gamma^2 \right) \left(\frac{\pi}{L} \right)^2}{m_p + m_f} \right] + 3a^2 \left[\frac{\left(EA \right)^* \left(\frac{\pi}{L} \right)^4}{4(m_p + m_f)} \right] \right\}^{\frac{1}{2}} \quad (47)$$

تابع هموتوپی مرتبه اول از مشتق‌گیری معادله (۴۱) نسبت به پارامتر q و سپس جایگذاری q برابر با صفر در آن رابطه به صورت زیر حاصل می‌شود:

$$L^*[\eta_1(\tau)] = h\hbar(\tau) N^*[\phi(\tau, q)] \Big|_{q=0} \quad (44)$$

و شرایط اولیه مربوطه عبارتند از:

$$\eta_1(\tau) = \frac{a^3}{32\omega_{nl}^2} (\cos \tau - \cos 3\tau) \left[\frac{\left(EA \right)^* \left(\frac{\pi}{L} \right)^4}{4(m_p + m_f)} \right] \quad (48)$$

$$\begin{aligned} \eta_1(0) &= 0 \\ \frac{d}{d\tau} \eta_1(0) &= 0 \end{aligned} \quad (45)$$

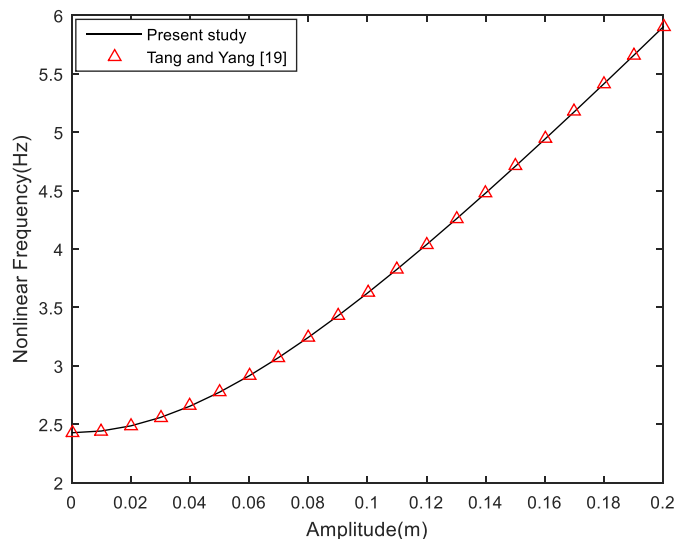
با توجه به معادله (۳۷) و با استفاده از معادلات (۴۳) و (۴۸)، تقریب مرتبه اول پاسخ به صورت زیر به دست می‌آید:

$$\begin{aligned} \eta(\tau) &\approx \eta_0(\tau) + \eta_1(\tau) = a \cos(\tau) + \frac{a^3}{32\omega_{nl}^2} \\ &\quad (\cos \tau - \cos 3\tau) \left[\frac{\left(EA \right)^* \left(\frac{\pi}{L} \right)^4}{4(m_p + m_f)} \right] \end{aligned} \quad (49)$$

با جایگزینی معادله (۳۳) در (۴۹)، نتیجه می‌شود:

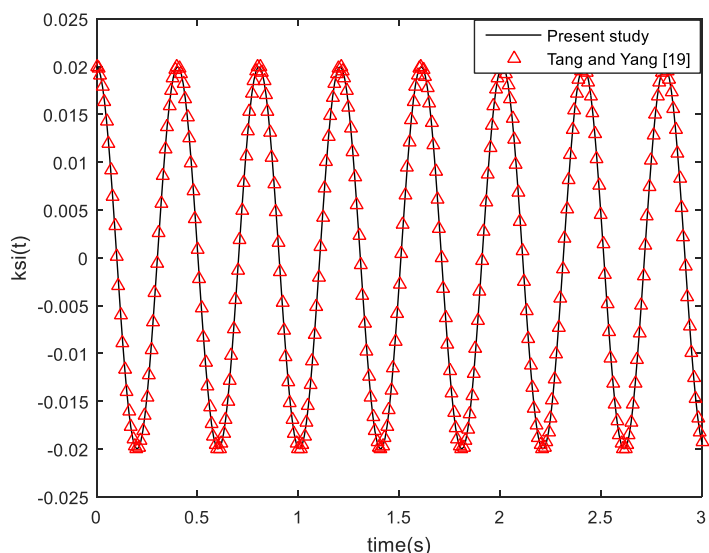
$$\begin{aligned} \eta_1(\tau) &= \frac{a^3}{32\omega_{nl}^2} (\cos \tau - \cos 3\tau) \left[\frac{\left(EA \right)^* \left(\frac{\pi}{L} \right)^4}{4(m_p + m_f)} \right] \\ &+ \frac{a}{8\omega_{nl}^2} (\tau \sin \tau) \left\{ 4 \left[\frac{\left(EI \right)^* \left(\frac{\pi}{L} \right)^4 + \left(P_0 - m_f \Gamma^2 \right) \left(\frac{\pi}{L} \right)^2}{m_p + m_f} \right] \right. \\ &\quad \left. + 3a^2 \left[\frac{\left(EA \right)^* \left(\frac{\pi}{L} \right)^4}{4(m_p + m_f)} \right] - 4\omega_{nl}^2 \right\} \end{aligned} \quad (46)$$

¹ Secular term



شکل ۳. مقایسه تغییرات اولین فرکانس طبیعی غیرخطی بر حسب دامنه اولیه لوله حامل سیال با نتایج مرجع [19].

Fig. 3. Comparison of the variation of the first nonlinear natural frequency in terms of the initial amplitude of the pipe conveying fluid with the results of reference [19].



شکل ۴. مقایسه پاسخ زمانی ارتعاشات غیرخطی لوله حامل سیال با نتایج مرجع [19].

Fig. 4. Comparison of the time response of vibration of pipe conveying fluid with the results of reference [19].

لوله حامل سیال مورد نظر می‌باشد.

$$\xi(t) = a \cos(\omega_{nl} t) + \frac{a^3}{32\omega_{nl}^2}$$

۵- نتایج

به منظور اعتبارسنجی نتایج به دست آمده، در ابتدا لوله حامل سیال به صورت یکنواخت و از یک جنس واحد (کسر حجمی صفحات تقویت‌کننده گرافن برابر با صفر در نظر گرفته می‌شود) و با مشخصات فیزیکی یکسان با مرجع [۱۹] در نظر گرفته شده و فرکانس غیرخطی رابطه فوق نشان‌دهنده تقریب مرتبه اول پاسخ زمانی ارتعاشات

$$(cos(\omega_{nl} t) - cos(3\omega_{nl} t)) \left[\frac{(EA)^* \left(\frac{\pi}{L} \right)^4}{4(m_p + m_f)} \right] \quad (50)$$

جدول ۱. مشخصات هندسی و فیزیکی لوله و سیال عبوری از آن.

Table 1. Geometrical and physical properties of the pipe and conveying fluid.

پارامتر	علامت	مقدار
طول لوله	L	۱۰ m
شعاع داخلی	r_i	۰/۰۸ m
شعاع خارجی	r_o	۰/۱ m
کشش محوری اولیه	P_0	- ۲۰ N
چگالی سیال	ρ_f	۱۰۰ $\frac{\text{kg}}{\text{m}^3}$
سرعت سیال	Γ	۱۰۰ $\frac{\text{m}}{\text{s}}$

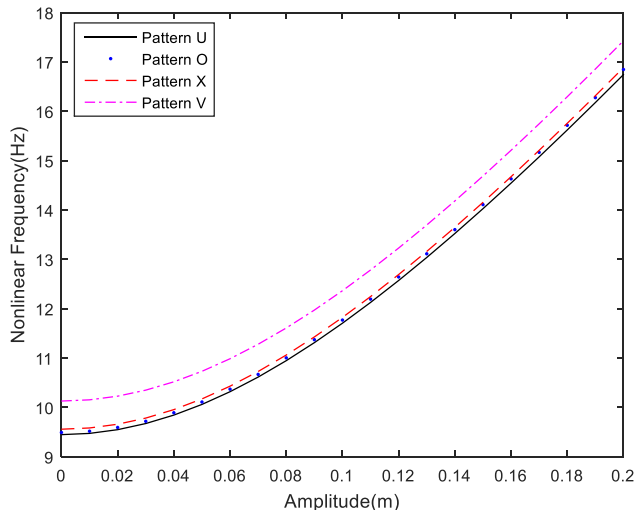
جدول ۲. مشخصات فیزیکی ماده زمینه و صفحات گرافن.

Table 2. Physical properties of the matrix and graphene platelets.

پارامتر	علامت	مقدار
تعداد لایه‌ها	N	۱۰
مدول یانگ ماده زمینه (اپوکسی)	E_m	۳ GPa
چگالی ماده زمینه (اپوکسی)	ρ_m	۱۲۰۰ $\frac{\text{kg}}{\text{m}^3}$
مدول یانگ صفحات گرافن	E_{GPL}	۱/۰۱ TPa
چگالی صفحات گرافن	ρ_{GPL}	۱۰۶۲/۵ $\frac{\text{kg}}{\text{m}^3}$
کسر وزنی صفحات گرافن	W_{GPL}	٪ ۰/۳
طول صفحات گرافن	a_{GPL}	۲/۵ μm
عرض صفحات گرافن	b_{GPL}	۱/۵ μm
ضخامت صفحات گرافن	t_{GPL}	۱/۵ nm

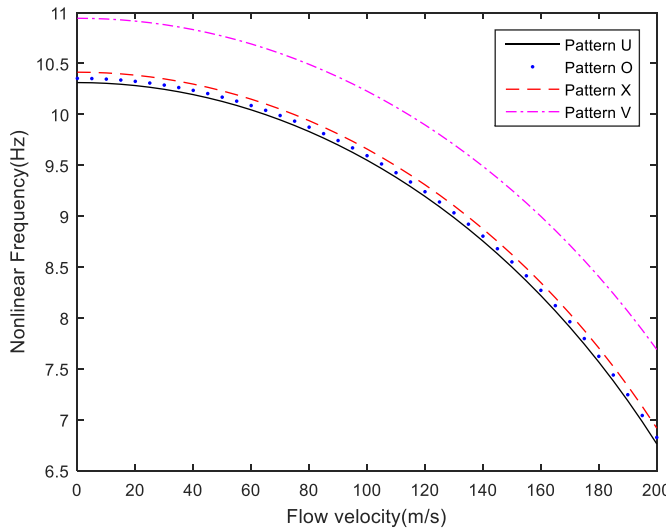
مقایسه قرار گرفته‌اند. با توجه به شکل‌های ۳ و ۴ ملاحظه می‌گردد اولین فرکانس طبیعی غیرخطی و پاسخ زمانی ارتعاشات به دست آمده در مطالعه حاضر تطابق خوبی با نتایج مرجع [۱۹] دارند. در ادامه این مطالعه هدف بررسی تأثیر الگوهای مختلف توزیع صفحات گرافن بر اولین فرکانس طبیعی غیرخطی و پاسخ زمانی ارتعاشات غیرخطی لوله حامل سیال از جنس مواد مرکب تقویت شده با صفحات گرافن می‌باشد. برای این منظور مشخصات هندسی و فیزیکی لوله و سیال عبوری از آن بر اساس مرجع [۱۹] و مطابق با جدول ۱ در نظر گرفته می‌شود. لوله حامل سیال مورد مطالعه در این تحقیق از تعداد ۱۰ لایه

و پاسخ زمانی به دست آمده با نتایج مربوط به این مرجع مورد مقایسه قرار می‌گیرند. برای این منظور لوله حامل جریان از جنس آلومینیوم و پارامترهای هندسی و فیزیکی آن این‌گونه در نظر گرفته شده‌اند: طول لوله ۱۰ متر، شعاع داخلی ۸ سانتی‌متر، شعاع خارجی ۱۰ سانتی‌متر، چگالی آلومینیوم ۲۷۰۰ کیلوگرم بر متر مکعب، مدول یانگ آلومینیوم ۷۰ گیگاپاسکال، چگالی سیال عبوری از داخل لوله ۱۰۰ کیلوگرم بر متر مکعب و سرعت سیال ۱۰۰ متر بر ثانیه. در شکل‌های ۳ و ۴ با در نظر گرفتن لوله حامل سیال از جنس آلومینیوم بدون صفحات تقویت‌کننده گرافن، اولین فرکانس طبیعی غیرخطی و پاسخ زمانی ارتعاشات با نتایج مشابه در مرجع [۱۹] مورد



شکل ۵. اولین فرکانس طبیعی غیرخطی ارتعاشات لوله حامل سیال ساخته شده از مواد مرکب چندلایه تقویت شده با صفحات گرافن بر حسب دامنه اولیه برای الگوهای مختلف توزیع صفحات گرافن.

Fig. 5. First nonlinear natural frequency of the vibration of pipe conveying fluid made of multilayer composite materials reinforced by graphene platelets in terms of initial amplitude for different graphene distribution patterns.



شکل ۶. تغییرات اولین فرکانس طبیعی غیرخطی ارتعاشات لوله حامل سیال ساخته شده از مواد مرکب چندلایه تقویت شده با صفحات گرافن بر حسب سرعت سیال برای الگوهای مختلف توزیع صفحات گرافن ($a = 0.02\text{m}$).

Fig. 6. The variation of the first nonlinear natural frequency of the vibration of pipe conveying fluid made of multilayer composite materials reinforced by graphene platelets in terms of fluid velocity for different graphene distribution patterns ($a = 0.02\text{m}$).

ارتعاشات لوله، شکل ۵ بر اساس رابطه (۴۷) ارائه گردیده است. با توجه به شکل ۵ ملاحظه می‌گردد اولین فرکانس طبیعی غیرخطی در تمامی الگوهای افزایش دامنه اولیه، افزایش یافته و این افزایش در مقادیر بزرگتر دامنه اولیه با شبیب بیشتری رخ می‌دهد. از مقایسه فرکانس‌های غیرخطی الگوهای مختلف در این شکل نتیجه می‌شود تفاوت چندانی بین اولین فرکانس طبیعی غیرخطی الگوهای

پلیمری تقویت شده با صفحات گرافن با ضخامت یکسان تشکیل شده و هر لایه به صورت ترکیبی از ماده زمینه اپوکسی و صفحات تقویت کننده گرافن می‌باشد؛ مشخصات مواد تشکیل‌دهنده لایه‌ها بر اساس مرجع [۲۵]، در جدول ۲ ارائه گردیده است.

به منظور بررسی تأثیر الگوهای مختلف توزیع صفحات گرافن در جهت ضخامت لوله حامل سیال بر اولین فرکانس طبیعی غیرخطی

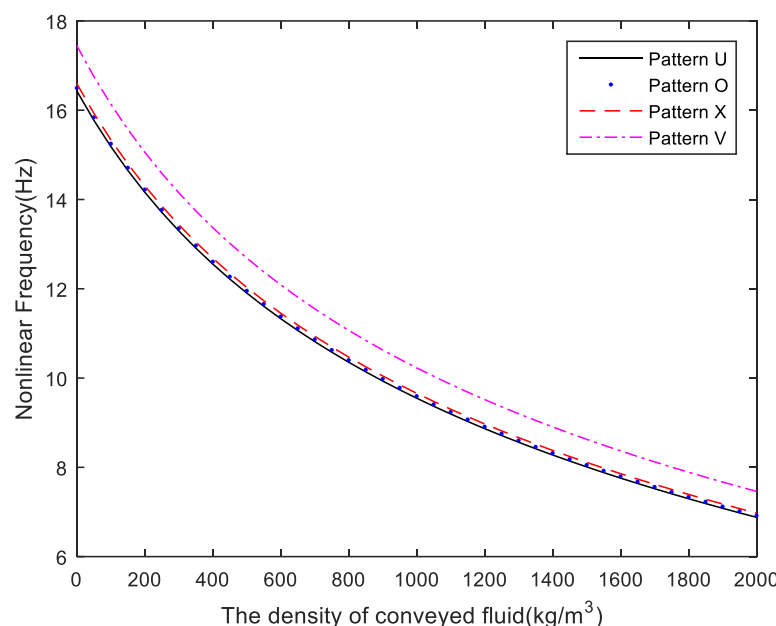
تمامی الگوها مشابه بوده و هر چهار الگوی مورد بررسی در سرعت‌های بالاتر سیال شیب تندتری را برای کاهش فرکانس غیرخطی پیش‌بینی می‌کنند.

چگالی سیال عبوری از داخل لوله پارامتر مهم دیگری است که بر ارتعاشات سیستم و فرکانس غیرخطی آن تاثیرگذار است. شکل ۷، تغییرات اولین فرکانس طبیعی غیرخطی لوله حامل سیال از جنس مواد پلیمری تقویت شده با صفحات گرافن را با افزایش چگالی سیال عبوری از لوله برای الگوهای مختلف توزیع صفحات گرافن مورد مطالعه قرار می‌دهد.

همان‌گونه که در شکل ۷ مشخص است با افزایش چگالی سیال، اولین فرکانس طبیعی غیرخطی پیش‌بینی شده توسط هر چهار الگو کاهش می‌یابد و این کاهش برای مقادیر بزرگتر چگالی سیال، با شیب کمتری رخ می‌دهد. این شکل همچنین نشان می‌دهد سه الگوی توزیع U ، O و X مقدار فرکانس غیرخطی تقریباً یکسانی را به ازای مقادیر مختلف چگالی سیال پیش‌بینی می‌کنند و تفاوت چندانی بین این سه الگو مشاهده نمی‌شود، در حالی که برای تمام مقادیر چگالی سیال مورد بررسی، الگوی V اولین فرکانس طبیعی غیرخطی بالاتری

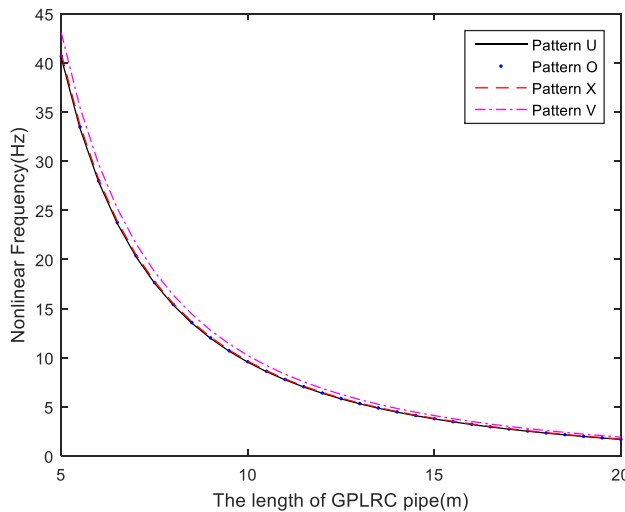
U و X وجود نداشت، اما الگوی V نسبت به سه الگوی دیگر دارای مقادیر فرکانس غیرخطی بیشتری به ازای تمامی مقادیر دامنه اولیه بوده و علت آن است که در الگوی V لایه‌های بیرونی لوله حامل سیال به میزان بیشتری توسط صفحات گرافن تقویت شده‌اند و این امر موجب افزایش بیشتر سختی لوله نسبت به سه الگوی دیگر شده است و در نتیجه فرکانس ارتعاشات لوله نیز نسبت به دیگر الگوها بیشتر خواهد بود.

شکل ۶ تغییرات فرکانس غیرخطی لوله حامل سیال از جنس مواد پلیمری تقویت شده با صفحات گرافن را به ازای افزایش سرعت سیال عبوری از داخل لوله، گزارش می‌دهد. بر اساس شکل ۶ با افزایش سرعت سیال، اولین فرکانس طبیعی غیرخطی در تمامی الگوهای توزیع صفحات گرافن کاهش یافته و این امر موجب میراتر شدن ارتعاشات لوله می‌گردد. نتایج این شکل نشان می‌دهد الگوی V نسبت به X ، الگوی O و الگوی U نسبت به U به ازای تمامی سرعت‌های سیال مورد بررسی، فرکانس غیرخطی بیشتری را پیش‌بینی می‌کند. همچنین این شکل نشان می‌دهد نحوه تغییرات اولین فرکانس طبیعی غیرخطی با افزایش سرعت سیال عبوری برای

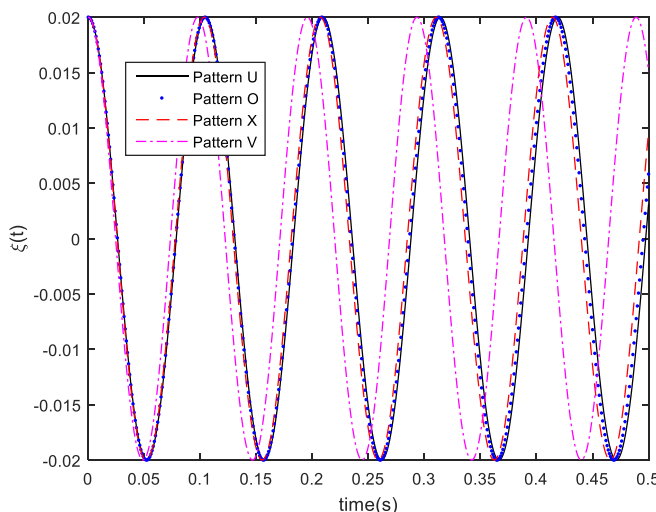


شکل ۷. تغییرات اولین فرکانس طبیعی غیرخطی ارتعاشات لوله حامل ساخته شده از مواد مرکب چندلایه تقویت شده با صفحات گرافن بر حسب چگالی سیال برای الگوهای مختلف توزیع صفحات گرافن ($a = 0.02\text{m}$).
 $a = 0.02\text{m}$.

Fig. 7. The variation of the first nonlinear natural frequency of the vibration of pipe conveying fluid made of multilayer composite materials reinforced by graphene platelets in terms of fluid density for different graphene distribution patterns ($a = 0.02\text{m}$).



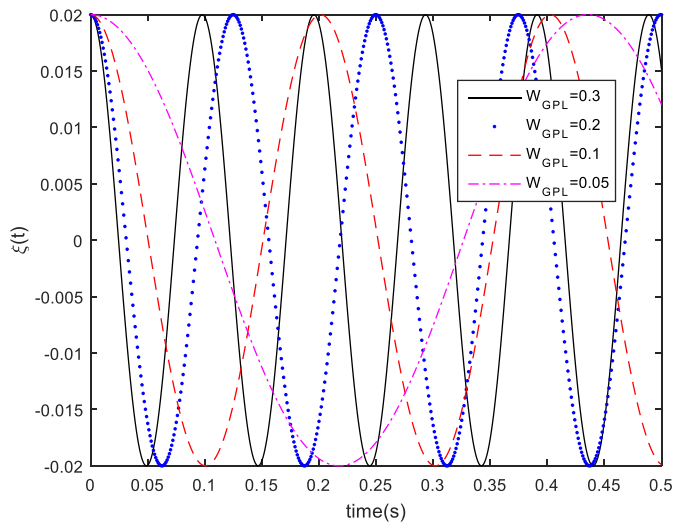
شکل ۸. بررسی تأثیر تغییر طول لوله حامل سیال ساخته شده از مواد مرکب چندلایه تقویت شده با صفحات گرافن بر اولین فرکانس طبیعی غیرخطی ارتعاشات آن برای الگوهای مختلف توزیع صفحات گرافن ($a = 0.02\text{m}$).
Fig. 8. The effects of the length of the pipe conveying fluid made of multilayer composite materials reinforced by graphene platelets on the first nonlinear natural frequency of the vibration for different graphene distribution patterns ($a = 0.02\text{m}$).



شکل ۹. مقایسه پاسخ زمانی ارتعاشات غیرخطی لوله حامل سیال ساخته شده از مواد مرکب چندلایه تقویت شده با صفحات گرافن پیش‌بینی شده توسط الگوهای مختلف توزیع صفحات گرافن.
Fig. 9. Comparison of the time response of the nonlinear vibration of pipe conveying fluid made of multilayer composite materials reinforced by graphene platelets predicted by different graphene distribution patterns.

با توجه به شکل ۸ نتیجه می‌شود هرچه لوله طول کوتاهتری داشته باشد اولین فرکانس طبیعی غیرخطی آن بیشتر بوده و با افزایش طول لوله، فرکانس غیرخطی در ابتدا با شیب تندتر و در ادامه با شیب ملایم‌تری کاهش می‌یابد. لازم به ذکر است در طول‌های کوچکتر از ۱۲ متر لوله، الگوی V فرکانس غیرخطی بیشتری را نسبت به سه الگوی دیگر پیش‌بینی می‌کند.

طول لوله حامل سیال تأثیر قابل ملاحظه‌ای بر اولین فرکانس طبیعی غیرخطی ارتعاشات آن دارد از این رو تأثیر تغییر طول لوله حامل جریان بر فرکانس غیرخطی ارتعاشات آن برای چهار الگوی مختلف توزیع صفحات گرافن در شکل ۸ مورد بررسی قرار گرفته است.



شکل ۱۰. مقایسه پاسخ زمانی ارتعاشات غیرخطی لوله حامل سیال ساخته شده از مواد مرکب چندلایه تقویت شده با صفحات گرافن برای کسر وزنی‌های مختلف صفحات گرافن (الگوی V).

Fig. 10. Comparison of the time response of the nonlinear vibration of pipe conveying fluid made of multilayer composite materials reinforced by graphene platelets for the different graphene weight fractions (pattern V).

لایه متشكل از مواد پلیمری تقویت شده با صفحات گرافن تشکیل شده است. چهار الگوی مختلف توزیع صفحات گرافن در راستای ضخامت لوله مطالعه شده و تأثیر تغییر دامنه اولیه، طول لوله، سرعت و چگالی سیال بر اولین فرکانس طبیعی غیرخطی سیستم در چهار الگوی توزیع صفحات تقویت کننده گرافن مورد مقایسه قرار گرفته است. برخی از نتایج قبل توجه این تحقیق عبارتند از:

الف: افزایش دامنه اولیه، اولین فرکانس طبیعی غیرخطی ارتعاشات را افزایش داده و الگوی توزیع صفحات گرافن V نسبت به سه الگوی توزیع O , U و X اختلاف اندکی با هم دارند در صورتی که نتایج مربوط به الگوی V نشان دهنده فرکانس ارتعاشات بیشتر نسبت به سه الگوی دیگر بوده که تأیید کننده نتایج قبلی نیز می‌باشد و هر چه زمان بیشتر می‌شود اختلاف بین نمودار ارائه شده توسط الگوی V با دیگر الگوها افزایش می‌یابد.

ب: با افزایش طول لوله، سرعت و چگالی سیال، اولین فرکانس طبیعی غیرخطی ارتعاشات برای تمامی الگوهای توزیع مورد بررسی کاهش می‌یابد.

پ: الگوهای مختلف توزیع صفحات گرافن اولین فرکانس طبیعی غیرخطی تقریباً یکسانی را به ازای افزایش طول لوله حامل سیال نشان می‌دهند.

متر، چهار الگوی توزیع صفحات گرافن تقریباً بر هم منطبق شده و اولین فرکانس طبیعی غیرخطی یکسانی را به ازای تغییرات طول لوله گزارش می‌کنند.

شکل ۹ پاسخ زمانی ارتعاشات غیرخطی لوله حامل سیال از جنس مواد مرکب چندلایه تقویت شده با صفحات گرافن را نشان می‌دهد. بر اساس این شکل پاسخ زمانی پیش‌بینی شده توسط سه الگوی توزیع O , U و X اختلاف اندکی با هم دارند در صورتی که نتایج مربوط به الگوی V نشان دهنده فرکانس ارتعاشات بیشتر نسبت به سه الگوی دیگر بوده که تأیید کننده نتایج قبلی نیز می‌باشد و هر چه زمان بیشتر می‌شود اختلاف بین نمودار ارائه شده توسط الگوی V با دیگر الگوها افزایش می‌یابد.

در شکل ۱۰ مقایسه‌ای بین پاسخ‌های زمانی ارتعاشات غیرخطی لوله حامل سیال با کسر وزنی‌های مختلف صفحات گرافن برای الگوی توزیع V انجام شده است. همانگونه که از شکل پیداست کاهش کسر وزنی گرافن (کاهش میزان تقویت لوله) موجب کاهش فرکانس ارتعاشات می‌شود که این امر از نظر فیزیکی هم قبل پیش‌بینی بود.

۶- نتیجه‌گیری

در این تحقیق حل تحلیلی ارتعاشات غیرخطی لوله‌ای حامل سیال با تکیه‌گاه ساده در دو انتهای مورد بررسی قرار گرفته است که از چندین

۷- پیوست

با در نظر گرفتن حرکت عرضی و کشش محدود، رابطه‌ی (۲۴) به رابطه زیر خلاصه می‌شود:

Vessel Technology, 034001 (2010) (3)132.

- [2] R. Bahaadini, A.R. Saidi, M. Hosseini, On dynamics of nanotubes conveying nanoflow, International Journal of Engineering Science, 196-181 (2018) 123.
- [3] R. Bahaadini, A.R. Saidi, Stability analysis of thin-walled spinning reinforced pipes conveying fluid in thermal environment, European Journal of Mechanics-A/Solids, 309-298 (2018) 72.
- [4] T. El-Sayed, H. El-Mongy, Free vibration and stability analysis of a multi-span pipe conveying fluid using exact and variational iteration methods combined with transfer matrix method, Applied Mathematical Modelling, 71 193-173 (2019).
- [5] T. Jiang, Z. Liu, H. Dai, L. Wang, F. He, Nonplanar multi-modal vibrations of fluid-conveying risers under shear cross flows, Applied Ocean Research, 209-187 (2019) 88.
- [6] R. Bahaadini, A.R. Saidi, M. Hosseini, Flow-induced vibration and stability analysis of carbon nanotubes based on the nonlocal strain gradient Timoshenko beam theory, Journal of Vibration and Control, 218-203 (2019) (1)25.
- [7] S. Sazesh, S. Shams, Vibration analysis of cantilever pipe conveying fluid under distributed random excitation, Journal of Fluids and Structures, 101-84 (2019) 87.
- [8] M. Ghane, A.R. Saidi, R. Bahaadini, Vibration of Fluid-Conveying Nanotubes Subjected to Magnetic Field Based on the Thin-Walled Timoshenko Beam Theory, Applied Mathematical Modelling, (2019).
- [9] M. Païdoussis, C. Semler, Nonlinear dynamics of a fluid-conveying cantilevered pipe with an intermediate spring support, Journal of Fluids and Structures, -269 (1993) (3)7 298.
- [10] T. Monrapussorn, S. Chucheepsakul, T. Huang, The coupled radial–axial deformations analysis of flexible pipes conveying fluid, International journal for numerical methods in engineering, 1452-1399 (2004) (11)59.
- [11] W. Lin, N. Qiao, Nonlinear dynamics of a fluid-conveying curved pipe subjected to motion-limiting constraints and a harmonic excitation, Journal of Fluids and Structures, 110-96 (2008) (1)24.
- [12] Y. Modarres-Sadeghi, M. Païdoussis, Nonlinear dynamics

$$\frac{\partial}{\partial x} \left[\frac{\partial u}{\partial x} + \frac{1}{2} \left(\frac{\partial w}{\partial x} \right)^2 \right] = 0$$

انتگرال گیری از رابطه فوق نتیجه می‌دهد:

$$u = xC_1(t) - \frac{1}{2} \int_0^x \left(\frac{\partial w}{\partial x} \right)^2 dx + C_2(t)$$

با توجه شرایط مرزی تکیه‌گاه ساده در دو انتهای لوله حامل جریان نتیجه می‌گردد:

$$C_1(t) = \frac{1}{2L} \int_0^L \left(\frac{\partial w}{\partial x} \right)^2 dx, \quad C_2(t) = 0$$

جایگذاری روابط فوق در عبارت مربوط به u نتیجه می‌دهد:

$$u = \frac{x}{2L} \int_0^L \left(\frac{\partial w}{\partial x} \right)^2 dx - \frac{1}{2} \int_0^x \left(\frac{\partial w}{\partial x} \right)^2 dx$$

جایگذاری رابطه فوق در رابطه (۲۵) رابطه زیر را نتیجه می‌دهد:

$$\begin{aligned} & \left(m_f + m_p \right) \left(\frac{\partial^2 w}{\partial t^2} \right) + 2m_f \Gamma \frac{\partial^2 w}{\partial x \partial t} \\ & + m_f \Gamma^2 \frac{\partial^2 w}{\partial x^2} + (EI)^* \frac{\partial^4 w}{\partial x^4} - P_0 \frac{\partial^2 w}{\partial x^2} \\ & - \frac{(EA)}{2L} \left(\frac{\partial^2 w}{\partial x^2} \right) \int_0^L \left(\frac{\partial w}{\partial x} \right)^2 dx = 0 \end{aligned}$$

معادله فوق رابطه (۲۹) ارائه شده در متن است.

مراجع

- [1] R. Ibrahim, Overview of mechanics of pipes conveying fluids—Part I: Fundamental studies, Journal of Pressure

- solution for nonlinear vibration and post-buckling of functionally graded pipes conveying fluid considering the rotary inertia and shear deformation effects, *Applied Ocean Research*, 102277 (2020) 101.
- [23] S. Stankovich, D.A. Dikin, G.H. Dommett, K.M. Kohlhaas, E.J. Zimney, E.A. Stach, R.D. Piner, S.T. Nguyen, R.S. Ruoff, Graphene-based composite materials, *nature*, 286-282 (2006) (7100)442.
- [24] S. Villar-Rodil, J.I. Paredes, A. Martínez-Alonso, J.M. Tascón, Preparation of graphene dispersions and graphene-polymer composites in organic media, *Journal of Materials Chemistry*, 3593-3591 (2009) (22)19.
- [25] J. Yang, H. Wu, S. Kitipornchai, Buckling and postbuckling of functionally graded multilayer graphene platelet-reinforced composite beams, *Composite Structures*, 161 118-111 (2017).
- [26] H. Mojiri, S.J. Salami, Free vibration and dynamic transient response of functionally graded composite beams reinforced with graphene nanoplatelets (GPLs) resting on elastic foundation in thermal environment, *Mechanics Based Design of Structures and Machines*, (21-1) (2020).
- [27] M. Song, Y. Gong, J. Yang, W. Zhu, S. Kitipornchai, Nonlinear free vibration of cracked functionally graded graphene platelet-reinforced nanocomposite beams in thermal environments, *Journal of Sound and Vibration*, 115115 (2020) 468.
- [28] R. Bahaadini, A.R. Saidi, Aeroelastic analysis of functionally graded rotating blades reinforced with graphene nanoplatelets in supersonic flow, *Aerospace Science and Technology*, 391-381 (2018) 80.
- [29] A.R. Saidi, R. Bahaadini, K. Majidi-Mozafari, On vibration and stability analysis of porous plates reinforced by graphene platelets under aerodynamical loading, *Composites Part B: Engineering*, 799-778 (2019) 164.
- [30] C. Li, Q. Han, Z. Wang, X. Wu, Analysis of wave propagation in functionally graded piezoelectric composite plates reinforced with graphene platelets, *Applied Mathematical Modelling*, 505-487 (2020) 81.
- [31] A. Shariati, S. Qaderi, F. Ebrahimi, A. Toghroli, On of extensible fluid-conveying pipes, supported at both ends, *Journal of Fluids and Structures*, -535 (2009) (3)25 543.
- [31] X.-Y. Mao, H. Ding, L.-Q. Chen, Steady-state response of a fluid-conveying pipe with 1 :3 internal resonance in supercritical regime, *Nonlinear Dynamics*, (2016) (2)86 809-795.
- [41] G. Peng, Y. Xiong, Y. Gao, L. Liu, M. Wang, Z. Zhang, Non-linear dynamics of a simply supported fluid-conveying pipe subjected to motion-limiting constraints: Two-dimensional analysis, *Journal of Sound and Vibration*, 435 204-192 (2018).
- [51] X. Tan, H. Ding, L.-Q. Chen, Nonlinear frequencies and forced responses of pipes conveying fluid via a coupled Timoshenko model, *Journal of Sound and Vibration*, 455 255-241 (2019).
- [61] A. Abdelbaki, M. Païdoussis, A. Misra, A nonlinear model for a hanging cantilevered pipe discharging fluid with a partially-confined external flow, *International Journal of Non-Linear Mechanics*, 103290 (2020) 118.
- [17] M. Kheiri, Nonlinear dynamics of imperfectly-supported pipes conveying fluid, *Journal of Fluids and Structures*, 93 102850 (2020).
- [18] P. Shahali, H. Haddadpour, S.A.H. Kordkheili, Nonlinear dynamics of viscoelastic pipes conveying fluid placed within a uniform external cross flow, *Applied Ocean Research*, 101970 (2020) 94.
- [19] Y. Tang, T. Yang, Post-buckling behavior and nonlinear vibration analysis of a fluid-conveying pipe composed of functionally graded material, *Composite Structures*, 185 400-393 (2018).
- [20] A.M. Dehrouyeh-Semnani, E. Dehdashti, M.R.H. Yazdi, M. Nikkhah-Bahrami, Nonlinear thermo-resonant behavior of fluid-conveying FG pipes, *International Journal of Engineering Science*, 103141 (2019) 144.
- [21] R.S. Reddy, S. Panda, A. Gupta, Nonlinear dynamics of an inclined FG pipe conveying pulsatile hot fluid, *International Journal of Non-Linear Mechanics*, 118 103276 (2020).
- [22] R. Khodabakhsh, A.R. Saidi, R. Bahaadini, An analytical

- polypropylene self-reinforced polymer composites, Materials & Design, 109073 (2020) 195.
- [35] L. Ainsworth, Fibre-reinforced plastic pipes and applications, Composites, 190-185 (1981) (3)12.
- [36] H. Derek, An introduction to composite materials, Cambridge University Press, 1981.
- [37] B. Harris, Engineering composite materials, (1999).
- [38] J.H. Affdl, J. Kardos, The Halpin-Tsai equations: a review, Polymer Engineering & Science, 352-344 (1976) (5)16.
- [39] S.-J. Liao, The proposed homotopy analysis technique for the solution of nonlinear problems, Ph. D. Thesis, Shanghai Jiao Tong University Shanghai, 1992.
- [40] S. Liao, Beyond perturbation: introduction to the homotopy analysis method, Chapman and Hall/CRC, 2003.
- buckling characteristics of polymer composite plates reinforced with graphene platelets, Engineering with Computers, (12-1) (2020).
- [32] Y. Wang, C. Feng, Z. Zhao, F. Lu, J. Yang, Torsional buckling of graphene platelets (GPLs) reinforced functionally graded cylindrical shell with cutout, Composite Structures, 79-72 (2018) 197.
- [33] V.N. Viet Hoang, N.D. Tien, D.G. Ninh, V.T. Thang, D.V. Truong, Nonlinear dynamics of functionally graded graphene nanoplatelet reinforced polymer doubly-curved shallow shells resting on elastic foundation using a micromechanical model, Journal of Sandwich Structures & Materials, (1099636220926650) (2020).
- [34] J. Wang, F. Song, Y. Ding, M. Shao, The incorporation of graphene to enhance mechanical properties of

چگونه به این مقاله ارجاع دهیم

R. Khodabakhsh, A. R. Saidi, R. Bahaadini, Nonlinear Vibrations of Graphene Reinforced Pipes Conveying Fluid, Amirkabir J. Mech Eng., 53(8) (2021) 4483-4500.

DOI: [10.22060/mej.2021.18964.6929](https://doi.org/10.22060/mej.2021.18964.6929)



